

Convexidad en términos de líneas quebradas

(con Mandy Cheung y Alfredo Núñez Chávez)

Recuerden - Dualidad de Fock-Goncharov y la conjectura de Fock-Goncharov completa:

- Las variedades de conglomerado se definen con datos Γ .

Dado Γ , se construye el ensemble (A_Γ, X_Γ) .

- Tenemos una noción de dualidad de Langlands para Γ - la dual se escribe Γ^\vee .

- Definición: El **dual de Fock-Goncharov** de A_Γ es X_{Γ^\vee} .

El **dual de Fock-Goncharov** de X_Γ es A_{Γ^\vee} .

- Dualidad de Langlands es una involución $- (\Gamma^\vee)^\vee = \Gamma$. \rightarrow Dualidad de Fock-Goncharov también.

- Notación: Sea U una variedad de conglomerado de cualquier tipo. Denote el dual de Fock-Goncharov de U como U^\vee .

- ¿Por qué nos interesa? - En **casos buenos** $(U^\vee)^{\text{hyp}}(\mathbb{Z})$ parametriza una base canónica de $\mathcal{O}(U)$ - la base de funciones \mathcal{J} . Por recordar en unos minutos

- Se parece caso particular de una conjectura de Gross-Hacking-Keel para la construcción del espacio de una variedad log Calabi-Yau afín con frontera maximal.

- Funciones \mathcal{J} : Los funciones \mathcal{J} en $\mathcal{O}(U)$ se construye utilizando un diagrama de dispersión $\mathcal{D}^U \subset (U^\vee)^{\text{hyp}}(\mathbb{R})$ y líneas quebradas $\gamma: (-\infty, 0] \rightarrow (U^\vee)^{\text{hyp}}(\mathbb{R})$. La construcción heurísticamente está basada en la geometría logarítmica enumerativa de U^\vee .

- Sea $p \in (U^\vee)^{\text{hyp}}(\mathbb{Z})$, $x \in (U^\vee)^{\text{hyp}}(\mathbb{R})$ un punto base. $\mathcal{J}_{p|x} = \sum_y c(y) z^{F(y)}$

$$\begin{cases} I(y) = p \\ y(x) = x \end{cases}$$

↑ momento de decoración Arg de γ

- Definición: $\mathcal{J} \subset (U^\vee)^{\text{hyp}}(\mathbb{Z})$ es el subconjunto tal que $\mathcal{J}_{p|x}$ es una suma finita para cada x (\Leftrightarrow una x) en el complejo de conglomerado Δ^+ .

- Definición: El álgebra generada por $\{\mathcal{J}_p | p \in \mathcal{O}\}$ se denota **mid**(U).

- A priori no tenemos que $\text{mid}(U)$ sea subálgebra de $\mathcal{O}(U)$. Lo que sí tenemos es un lema monótono de álgebras $\nu: \text{mid}(U) \rightarrow \mathcal{O}(U) =: \text{up}(U)$.

- Los "casos buenos": Se dice que la **conjectura de Fock-Goncharov completa** se cumple para U si:

ν es biyectiva

$\mathcal{O} = (U^\vee)^{\text{hyp}}(\mathbb{Z})$.

(En tal caso $\text{mid}(U) = \text{up}(U)$.)

El caso torico: • $U = T_N \cong N \otimes \mathbb{C}^*$, $U^\vee = T_N^\vee = T_M = M \otimes \mathbb{C}^*$ $M := \text{Hom}(N, \mathbb{Z})$

$T_N^{\text{hyp}}(\mathbb{Z}) = N \leftrightarrow$ base de caracteres para $\mathcal{O}(T_N)$

$T_M^{\text{hyp}}(\mathbb{Z}) = M \leftrightarrow$ base de caracteres para $\mathcal{O}(T_N)$

• $T_N^{\text{hyp}}(\mathbb{R}) = N_{\mathbb{R}}$, $T_M^{\text{hyp}}(\mathbb{R}) = M_{\mathbb{R}}$

Abanicos para variedades toricas son ejemplos de diagramas de dispersión, pero cada función de dispersión es trivial \rightarrow no hay dispersión \rightarrow funciones $\mathcal{J} = \{\text{caracteres}\}$

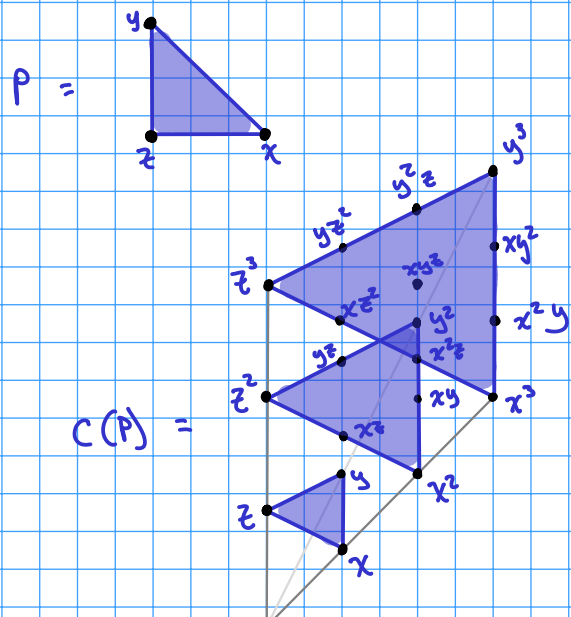
Construcción tórica:

$$\left\{ \begin{array}{l} \text{Polítopos racionales} \\ \text{convexos } P \subset M_R \end{array} \right\} \longleftrightarrow \left\{ \begin{array}{l} \text{Variedades tóricas proyectivas} \\ \text{polarizadas } \mathcal{L} \rightarrow Y, T_N(Y) \end{array} \right\}$$

$$dP \cap M \longleftrightarrow \text{Base de } \Gamma(Y, \mathcal{L}^{\otimes d})$$

$$\text{Mejor: } C(P) \cap (M \otimes \mathbb{Z}) \longleftrightarrow \text{Base graduada de } R_d = \bigoplus_{d \geq 0} R_d, \quad R_d = \Gamma(Y, \mathcal{L}^{\otimes d})$$

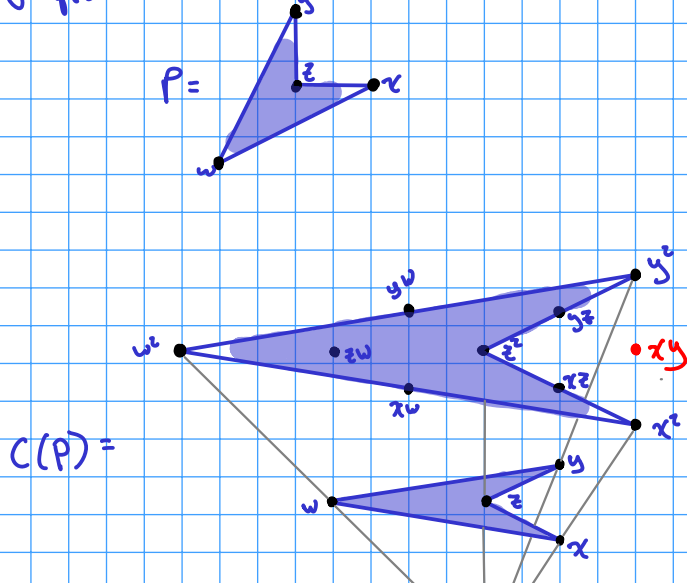
Ejemplo:



Nivel d : base para $\mathcal{O}_{P^2}(d)$

$$P \rightsquigarrow (\mathbb{P}^2, \mathcal{O}_{\mathbb{P}^2}(1))$$

No ejemplo:



$$x, y \in P$$

$$xy \notin \mathbb{Z}P$$

\Rightarrow Los puntos enteros en $C(P)$ no pueden constituir una base para un anillo graduado, como el anillo de scripciones de un haz lineal.

Conclusión: ¡Convexidad es clave!

Pregunta: ¿Se puede construir modelos mínimos proyectivos polarizados para variedades de conglomerado de forma análoga?

Recuerden - Multiplicación de funciones \mathcal{J} :

$$\mathcal{J}_p \cdot \mathcal{J}_q = \sum_{r \in (\mathcal{U}^v)^{\text{trop}}(Z)} v_{p,q} \mathcal{J}_r$$

$$\alpha_{p,q}^r = \sum_{(\gamma_1, \gamma_2)} c(\gamma_1) \cdot c(\gamma_2)$$

$$I(\gamma_1) = p, I(\gamma_2) = q$$

$$\gamma_1(0) = \gamma_2(0) = r$$

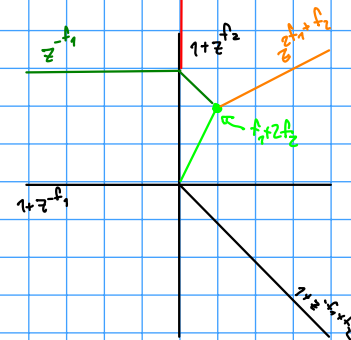
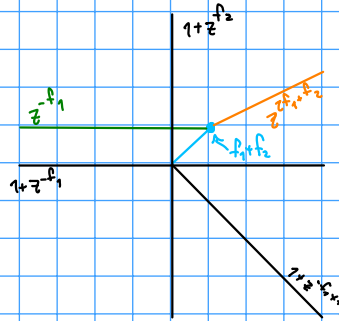
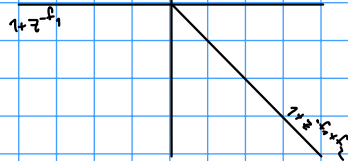
$$F(\gamma_1) + F(\gamma_2) = r$$

Cuenta de curvas tropicales con entradas p, q y salida r .

Ejemplo: $\mathcal{Q} = \frac{\circ}{1} \rightarrow \frac{\circ}{2}, \mathcal{U} = \lambda$

$$\mathcal{J}_{-f_1} \cdot \mathcal{J}_{2f_1+f_2} = ??$$

$$\mathcal{J}^\lambda =$$



$$\Rightarrow \mathcal{J}_{-f_1} \cdot \mathcal{J}_{2f_1+f_2} = \mathcal{J}_{-f_1+f_2} + \mathcal{J}_{-f_1+2f_2}$$

Diccionario parcial:

Varietades Tóricas

$$T_N \subset \mathbb{Y}$$

$$M \rightsquigarrow \text{base para } \mathcal{J}(T_N)$$

caracteres

productos de caracteres \rightsquigarrow adición de vectores

$$P \subset M_R \quad \text{convexo}$$

$$\Rightarrow L_P \rightarrow \mathbb{Y}$$

$$C(P) \rightsquigarrow \text{base graduada de } R_{L_P}$$

Modelos mínimos para variedades de conglomerado

$$U \subset \mathbb{Y}$$

$$(\mathcal{U}^v)^{\text{trop}}(Z) \rightsquigarrow \text{base para } \mathcal{J}(U)$$

funciones \mathcal{J}

productos de funciones $\mathcal{J} \rightsquigarrow$ cuentas de curvas tropicales

$$Sc(\mathcal{U}^v)^{\text{trop}}(R) \quad ??$$

$$\Rightarrow L_S \rightarrow \mathbb{Y}$$

$$C(S) \rightsquigarrow \text{base graduada de } R_{L_S}$$

¿Hay una noción de convexidad en $(\mathcal{U}^v)^{\text{trop}}(R)$ que nos sirve acá?

Pregunta': ¿Para cuales subconjuntos $Sc(\mathcal{U}^v)^{\text{trop}}(R)$ tenemos que $C(S) \cap ((\mathcal{U}^v)^{\text{trop}}(Z) \times Z)$ define un anillo graduado en términos de funciones \mathcal{J} ?

$$= C(S)(Z)$$

Definición (GKKK - Def 8.6): Un subconjunto cerrado $S \subset (\mathbb{U}^v)^{\text{top}}(\mathbb{R})$ es **positivo** si para cada $a, b \in \mathbb{Z}_{\geq 0}$, $p \in aS(\mathbb{Z})$, $q \in bS(\mathbb{Z})$, y $r \in (U^v)^{\text{top}}(\mathbb{Z})$ con $\alpha_{pq}^r \neq 0$, tenemos que:

$$r \in (a+b)S.$$

Observación: Por definición el subconjunto cerrado $S \subset (\mathbb{U}^v)^{\text{top}}(\mathbb{R})$ es positivo $\Leftrightarrow C(S)(\mathbb{Z})$ define un anillo graduado

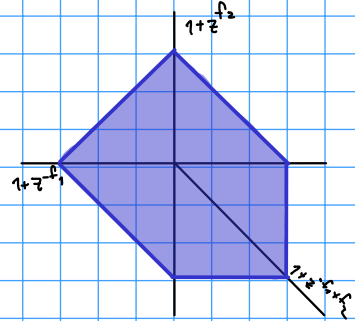
Pregunta": ¿Cuáles subconjuntos $S \subset (\mathbb{U}^v)^{\text{top}}(\mathbb{R})$ son positivos?

Definición (Cheung, M, Núñez Chávez): Un subconjunto cerrado $S \subset (\mathbb{U}^v)^{\text{top}}(\mathbb{R})$ es **convexo en términos de líneas quebradas** si para cada $s_1, s_2 \in S(\mathbb{Q})$ cada "segmento quebrado" conectando s_1 y s_2 está completamente contenido en S .

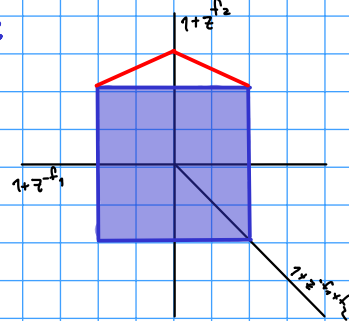
Segmento quebrado: Restricción de una línea quebrada $\gamma: (-\infty, 0] \rightarrow (\mathbb{U}^v)^{\text{top}}(\mathbb{R})$ a un intervalo $[t_1, t_2]$.



Ejemplo:



No Ejemplo:



Teorema (Cheung, M, Núñez Chávez): El subconjunto cerrado $S \subset (\mathbb{U}^v)^{\text{top}}(\mathbb{R})$ es positivo si y solo si S es convexo en términos de líneas quebradas.

Idea de la prueba:

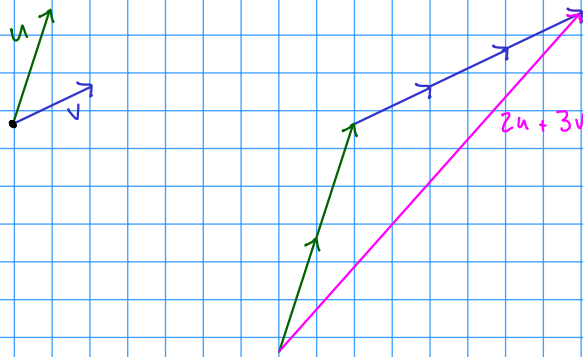
El problema - Funciones γ se parametrizan con direcciones asintóticas de líneas quebradas.

Convexidad en términos de líneas quebradas se trata los **extremos** de segmentos quebrados

La resolución - Reinterpretar multiplicación como medio ponderado (motivada por "jagged paths" de Gross-Schubert)
¿tal vez "caminos serrados"?

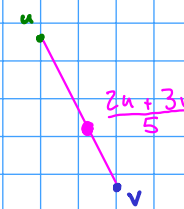
Caso h\'otico:

Adici\'on normal

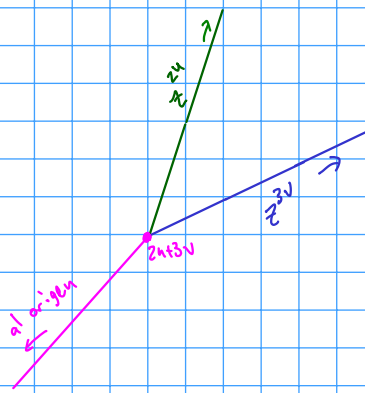


$$z^u \cdot z^v = z^{u+3v}$$

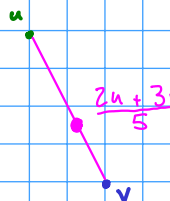
Medio ponderado



L\'ineas quebradas

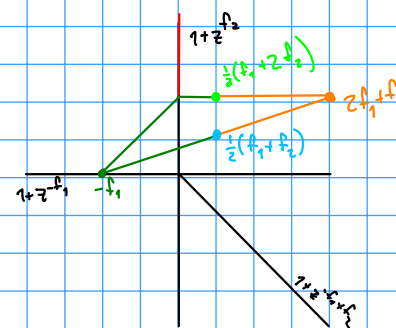
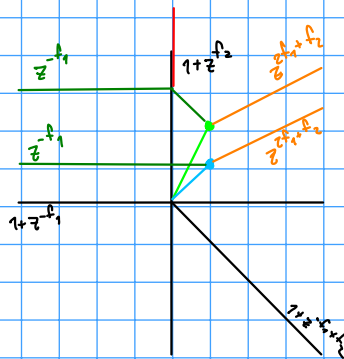


Segmentos quebrados



Caso de variedades de conglomerado:

$$\partial_{f_1} \cdot \partial_{f_2} = \partial_{f_1+f_2} + \partial_{f_1+2f_2}$$



Convexo en t\'erminos de l\'ineas quebradas \Rightarrow positivo:

- Empieza con $a, b \in \mathbb{Z}_{>0}$, $p \in S(\mathbb{Z})$, $q \in S(\mathbb{Z})$, y $r \in (\mathbb{U}^{\text{top}})^{\text{top}}(\mathbb{Z})$ con $\alpha_{p,q}^r \neq 0$.
- Elige (γ_1, γ_2) contribuyendo a $\alpha_{p,q}^r$.
- Utilizando (γ_1, γ_2) , construye un segmento quebrado $\tilde{\gamma}$ conectando $\frac{p}{a} \in S(\mathbb{Q})$ con $\frac{q}{b} \in S(\mathbb{Q})$, y pasando por $\frac{r}{a+b}$.
- Si convexo en t\'erminos de l\'ineas quebradas $\Rightarrow \frac{r}{a+b} \in S$, y $r \in (a+b)S$.

Positivo \Rightarrow Convexo en t\'erminos de l\'ineas quebradas:

- Similar, pero empieza con el segmento quebrado y construye (γ_1, γ_2) .

Más aplicaciones de convexidad en términos de líneas quebradas: (+ Lara y Bosco)

- **Cuerpos de Newton-Okounkov**

-La noción usual: • X una variedad de dim. d.

• D un divisor en X

• R_D el anillo de secciones de D

$$R_D := \bigoplus_{j \geq 0} R_j, \quad R_j = \Gamma(X, \mathcal{O}_X(jD))$$

• $v: R_D \setminus \{0\} \rightarrow \mathbb{Z}^d$ una valuación ← 1 entrada auxiliar

3 entradas geométricas

Definición: El **cuadro de Newton-Okounkov** $\Delta_v(D)$ es $\Delta_v(D) := \text{conv}(\bigcup_{j=1}^r v(R_j))$.

-Una versión intrínseca: • (U, X) un modelo mínimo parcial } 3 entradas geométricas, pero con el
• D un divisor de la frontera en X contexto restringido
• R_D el anillo de secciones de D

Definición: La analogía del **polítopo de Newton para funciones** \mathfrak{f} es

$$\text{Newt}_{\mathfrak{f}}\left(\sum_{p \in U \cap \text{supp}(f)} a_p f_p\right) = \text{conv}_{BL}\{p : a_p \neq 0\}.$$

← envolvente convexa en términos de líneas quebradas

Definición: El **cuadro de Newton-Okounkov intrínseco** es

$$\Delta_{BL}(D) := \text{conv}_{BL}\left(\bigcup_{j=1}^r \left(\bigcup_{p \in R_j} \frac{1}{j} \text{Newt}_{\mathfrak{f}}(f_p)\right)\right).$$

• Al elegir una carta fórica T_S en U se obtiene una identificación de $\Delta_{BL}(D)$ con un cuerpo NO usual $\Delta_v(D)$.

• En muchos casos la cerradura no es necesario - existe $K \in \mathbb{Z}_{\geq 0}$ tal que $\Delta_{BL}(D) = \text{conv}_{BL}\left(\bigcup_{j=1}^r \left(\bigcup_{p \in R_j} \frac{1}{j} \text{Newt}_{\mathfrak{f}}(f_p)\right)\right)$.
Sea K el mínimo posible. Sigue pasará para $\Delta_v(D)$ también.

Sea $K_S \in \mathbb{Z}_{\geq 0}$ el mínimo tal que $\Delta_{v_S}(D) = \text{conv}\left(\bigcup_{j=1}^r \frac{1}{j} \text{Newt}_{\mathfrak{f}}(f_p)\right)$.

Tenemos que $K \leq K_S$ para cada sumilla S .

• Ejemplo: $\text{Gir}_K(\mathbb{C}^n)$. D = pullback de hiperplano.

$$\Delta_{BL}(D) = \text{conv}_{BL}\{\mathfrak{v} \mid D_{\mathfrak{v}} = \mathfrak{p}_S, S \in \binom{[n]}{k}\}.$$

• **Generalizaciones de más construcciones fóricas** - La convexidad aparece por todos lados en geometría fórica,

en construcciones tanto como pruebas. Otra construcción importante: abanicos se utilizan para describir variedades fóricas con un atlas. Se puede traducir esa construcción al mundo de modelos mínimos parciales para variedades de conglomerado.

Ingredientes importantes: • $\langle \cdot, \cdot \rangle: U^{\text{trop}}(Z) \times (U^{\vee})^{\text{trop}}(Z) \rightarrow \mathbb{Z}$ (emparejamiento tropical)

$$(v, p) \mapsto v(p)$$

• Dado $C \subset U^{\text{trop}}(Z)$, se define $C^\vee := \{p \in (U^{\vee})^{\text{trop}}(Z) : \langle c, p \rangle \geq 0 \forall c \in C\}$

• Prop: C^\vee siempre es un subconjunto convexo en términos de líneas quebradas

• Pregunta: una variedad fórica proyectiva se puede describir con un polítopo ó un abanico.

Ambas construcciones se generalizan, y también la noción de "polítopo normal".

¿Nos dan la misma variedad en el mundo de modelos mínimos de variedades de conglomerado?

• Generalización de Dualidad de Batyrev/Batyrev-Borisov - El santo gral de nuestro programa de investigación.